

Intersecciones completas en variedades tóricas simpliciales

Ignacio García Marco

Universidad de La Laguna.

iggarcia@ull.es

Basado en:

I. Bermejo, I. García-Marco, Complete intersections in simplicial toric varieties, arXiv:1302.6706.

① ¿Cuándo un ideal tórico simplicial es intersección completa?

- Ideales tóricos intersección completa
 - De I_A a $I_{A_{red}}$
 - De I_A a $I_{A(i,j)}$
- Ideales tóricos simpliciales
 - El Algoritmo IC-simplicial
- Ideales tóricos simpliciales homogéneos y sus variedades.

② Implementación

Ideales tóricos: Introducción

Sea k un **cuerpo** cualquiera y $k[x] = k[x_1, \dots, x_n]$ y $k[t] = k[t_1, \dots, t_m]$ dos **anillos de polinomios** sobre k .

Un **binomio** en $k[x]$ es una diferencia de dos monomios y un **ideal** generado por binomios se denomina un **ideal binomial**.

Sea $\mathcal{A} = \{a_1, \dots, a_n\}$ un **conjunto de vectores no nulos** de \mathbb{N}^m , cada $a_i = (a_{i1}, \dots, a_{im}) \in \mathbb{N}^m$ se corresponde con un **monomio** $t^{a_i} = t_1^{a_{i1}} \cdots t_m^{a_{im}} \in k[t]$. El **ideal tórico asociado a \mathcal{A}** es el **núcleo** del homomorfismo de k -álgebras

$$\begin{aligned}\varphi : k[x] &\longrightarrow k[t] \\ x_i &\longmapsto t^{a_i}\end{aligned}$$

y lo denotaremos por $I_{\mathcal{A}}$.

Ideales tóricos: Introducción

- $\mathbf{I}_{\mathcal{A}}$ es un ideal primo, binomial y \mathcal{A} -homogéneo.
- $\text{ht}(\mathbf{I}_{\mathcal{A}}) = n - \dim(\mathbb{Q}\mathcal{A})$.

$\mathbf{I}_{\mathcal{A}}$ se dice que es una **intersección completa (IC)** si existe un sistema de binomios \mathcal{A} -homogéneos g_1, \dots, g_s con $s = \text{ht}(\mathbf{I}_{\mathcal{A}})$ tales que

$$\mathbf{I}_{\mathcal{A}} = (g_1, \dots, g_s).$$

Ideales tóricos: de $I_{\mathcal{A}}$ a $I_{\mathcal{A}_{red}}$

Se satisfacen las siguientes propiedades para $\mathcal{A} = \{\mathbf{a}_1, \dots, \mathbf{a}_n\}$:

- Si $\mathbf{a}_i \notin \sum_{\substack{j \in \{1, \dots, n\} \\ j \neq i}} \mathbb{Q} \mathbf{a}_j$, entonces $I_{\mathcal{A}}$ es IC $\Leftrightarrow I_{\mathcal{A} \setminus \{\mathbf{a}_i\}}$ es IC.
- Si $\mathbf{a}_i \in \sum_{\substack{j \in \{1, \dots, n\} \\ j \neq i}} \mathbb{N} \mathbf{a}_j$, entonces $I_{\mathcal{A}}$ es IC $\Leftrightarrow I_{\mathcal{A} \setminus \{\mathbf{a}_i\}}$ es IC.

Proposición

Sea $\mathbf{a}_i \in \sum_{\substack{j \in \{1, \dots, n\} \\ j \neq i}} \mathbb{Q} \mathbf{a}_j$ y sean

$B_i := \min\{\mathbf{b} \in \mathbb{Z}^+ \mid \mathbf{b} \mathbf{a}_i \in \sum_{\substack{j \in \{1, \dots, n\} \\ j \neq i}} \mathbb{Z} \mathbf{a}_j\}$ y

$\mathcal{A}' := \{\mathbf{a}_1, \dots, \mathbf{a}_{i-1}, B_i \mathbf{a}_i, \mathbf{a}_{i+1}, \dots, \mathbf{a}_n\}$, entonces

$$I_{\mathcal{A}} \text{ es IC} \iff I_{\mathcal{A}'} \text{ es IC.}$$

Ideales tóricos: de $I_{\mathcal{A}}$ a $I_{\mathcal{A}_{red}}$

Aplicando iterativamente estos resultados, al conjunto $\mathcal{A} \subset \mathbb{N}^m$ se le asocia otro conjunto $\mathcal{A}_{red} \subset \mathbb{N}^m$ que es o bien el conjunto vacío o cumple que $\mathcal{A}_{red} = \{a'_1, \dots, a'_r\}$, con $r \leq n$, y que $a'_i \in \sum_{\substack{j \in \{1, \dots, n\} \\ j \neq i}} \mathbb{Z} a'_j \setminus \sum_{\substack{j \in \{1, \dots, n\} \\ j \neq i}} \mathbb{N} a'_j$ para todo $i \in \{1, \dots, r\}$.

Como consecuencia de esta construcción tenemos el siguiente resultado.

Teorema 1

$$I_{\mathcal{A}} \text{ es IC} \iff \mathcal{A}_{red} = \emptyset \text{ o } I_{\mathcal{A}_{red}} \text{ es IC.}$$

Ideales tóricos: de $I_{\mathcal{A}}$ a $I_{\mathcal{A}_{(i,j)}}$

Para ciertos $i \in \{1, \dots, n\}$ se puede definir

$$m_i := \min \left\{ b \in \mathbb{Z}^+ \mid ba_i \in \sum_{\substack{j \in \{1, \dots, n\} \\ j \neq i}} \mathbb{N}a_j \right\}.$$

Para todo $b = (b_1, \dots, b_m), c = (c_1, \dots, c_m) \in \mathbb{N}^m$, denotamos por $\gcd(b, c) \in \mathbb{N}^m$ al vector cuya i -ésima coordenada es 0 si $b_i \circ c_i = 0$ y $\gcd(b_i, c_i)$ en caso contrario.

Ideales tóricos: de $I_{\mathcal{A}}$ a $I_{\mathcal{A}_{(i,j)}}$

Teorema 2

Supongamos que existen $i, j : 1 \leq i < j \leq n$ tales que
 $m_i a_i = m_j a_j$.

Si $I_{\mathcal{A}}$ es IC $\Rightarrow I_{\mathcal{A}_{(i,j)}}$ es IC,

donde $\mathcal{A}_{(i,j)} := (\mathcal{A} \setminus \{a_i, a_j\}) \cup \{\gcd(a_i, a_j)\}$.

Nota importante: El opuesto a este Teorema no es cierto en general. No obstante, si $I_{\mathcal{A}_{(i,j)}}$ es IC, se puede comprobar si $I_{\mathcal{A}}$ es IC comprobando si ciertos elementos pertenecen a ciertos subsemigrupos de \mathbb{N}^m .

Ideales tóricos: de $I_{\mathcal{A}}$ a $I_{\mathcal{A}_{(i,j)}}$

Teorema 2

Supongamos que existen $i, j : 1 \leq i < j \leq n$ tales que
 $m_i a_i = m_j a_j$.

Si $I_{\mathcal{A}}$ es IC $\Rightarrow I_{\mathcal{A}_{(i,j)}}$ es IC,

donde $\mathcal{A}_{(i,j)} := (\mathcal{A} \setminus \{a_i, a_j\}) \cup \{\gcd(a_i, a_j)\}$.

Nota importante: El opuesto a este Teorema no es cierto en general. No obstante, si $I_{\mathcal{A}_{(i,j)}}$ es IC, se puede comprobar si $I_{\mathcal{A}}$ es IC comprobando si ciertos elementos pertenecen a ciertos subsemigrupos de \mathbb{N}^m .

Ideales tóricos simpliciales: Introducción

Sea $\mathcal{B} = \{b_1, \dots, b_k\} \subset \mathbb{N}^m$, el **cono de \mathcal{B}** es el conjunto:

$$\text{Cone}(\mathcal{B}) := \left\{ \sum_{i=1}^k \alpha_i b_i \mid \alpha_i \in \mathbb{R}_{\geq 0} \right\}.$$

Sea $\mathcal{A} = \{a_1, \dots, a_n\} \subset \mathbb{N}^m$, si existen a_{i_1}, \dots, a_{i_r} con $r = \dim(\mathbb{Q}\mathcal{A})$ tales que $\text{Cone}(\mathcal{A}) = \text{Cone}(\{a_{i_1}, \dots, a_{i_r}\})$, entonces $\mathbf{I}_{\mathcal{A}}$ es un **ideal tórico simplicial** y $\mathbf{V}(\mathbf{I}_{\mathcal{A}}) \subset \mathbb{A}_k^n$ es una **variedad tórica simplicial**.

Si $m = 1$ o $m = 2$, entonces $\mathbf{I}_{\mathcal{A}}$ es un ideal tórico simplicial.

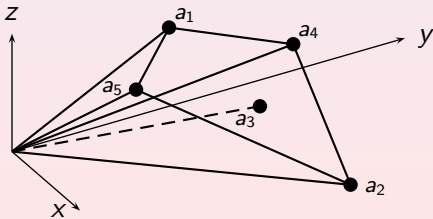
Ideales tóricos simpliciales: Introducción

Sea $\mathcal{A} = \{a_1, a_2, a_3, a_4, a_5\} \subset \mathbb{N}^3$, con

$a_1 = (0, 2, 1)$, $a_2 = (4, 2, 1)$, $a_3 = (2, 2, 1)$, $a_4 = (1, 3, 1)$ y
 $a_5 = (1, 1, 1)$.

$\mathbf{I}_{\mathcal{A}}$ **no es simplicial** porque $\dim(\mathbb{Q}\mathcal{A}) = 3$ y $\{a_1, a_2, a_4, a_5\}$ es un sistema minimal de generadores de $\text{Cone}(\mathcal{A})$.

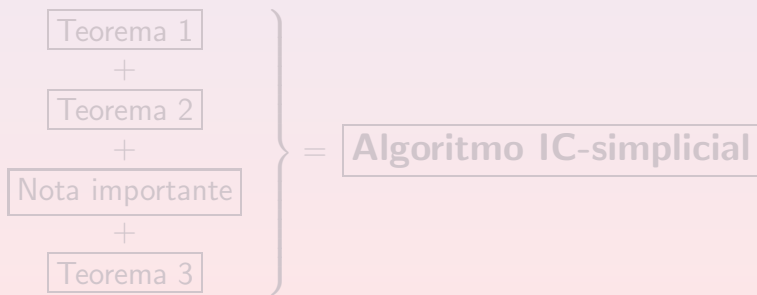
En cambio, $\mathbf{I}_{\mathcal{A} \setminus \{a_1\}}$ **sí es simplicial**.



Teorema 3

Sea I_A un ideal tórico simplicial. Si I_A es IC, entonces se cumple alguna de las siguientes propiedades:

- existen i, j tales que $m_i a_i = m_j a_j$
- $\mathcal{A}_{\text{red}} = \emptyset$.

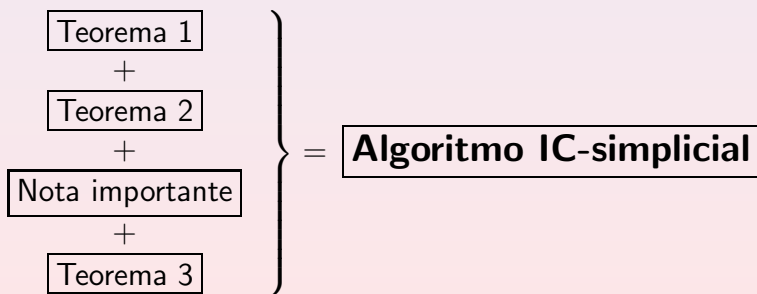


Ideales tóricos simpliciales: El Algoritmo IC-simplicial

Teorema 3

Sea I_A un ideal tórico simplicial. Si I_A es IC, entonces se cumple alguna de las siguientes propiedades:

- existen i, j tales que $m_i a_i = m_j a_j$
- $\mathcal{A}_{\text{red}} = \emptyset$.



Ideales tóricos simpliciales: El Algoritmo IC-simplicial

Consideremos el conjunto $\mathcal{A} := \{\mathbf{a}_1, \mathbf{a}_2, \mathbf{a}_3, \mathbf{a}_4\} \subset \mathbb{N}^2$ con

$$\mathbf{a}_1 := (5, 0), \mathbf{a}_2 := (0, 25), \mathbf{a}_3 := (2, 10) \text{ y } \mathbf{a}_4 := (3, 15),$$

que define un ideal tórico simplicial.

Primer paso:

- $m_3 := \min\{b \in \mathbb{Z}^+ \mid b \mathbf{a}_3 \in \sum_{j \in \{1, 2, 4, 5\}} \mathbb{N} \mathbf{a}_j\} = 3$
- $m_4 := \min\{b \in \mathbb{Z}^+ \mid b \mathbf{a}_4 \in \sum_{j \in \{1, 2, 3, 5\}} \mathbb{N} \mathbf{a}_j\} = 2$
- Observamos que $m_3 \mathbf{a}_3 = m_4 \mathbf{a}_4$. Entonces definimos

$$\boxed{\mathbf{a}_5 := (\gcd\{2, 3\}, \gcd\{5, 10\}) = (1, 5)} \text{ y } \mathcal{A}_1 := \{\mathbf{a}_1, \mathbf{a}_2, \mathbf{a}_5\}$$

Segundo paso:

- Calculamos $B_5 := \min\{b \in \mathbb{Z}^+ \mid b a_5 \in \mathbb{Z}a_1 + \mathbb{Z}a_2\}$ y obtenemos $B_5 = 5$.
- Ahora tomamos $a_6 := 5a_5$ y observamos que $a_6 = (5, 25) = a_1 + a_2 \in \mathbb{N}\{a_1, a_2\}$, entonces tomamos $\mathcal{A}_2 := \{a_1, a_2\}$.

Tercer paso:

- Como a_1 y a_2 son \mathbb{Q} -linealmente independientes, entonces llegamos a que $\mathcal{A}_3 := \emptyset$.

Cuarto paso (Nota importante):

- Tenemos que comprobar si $B_5 a_5 \in \mathbb{N}\{a_3, a_4\}$; en efecto,
 $B_5 a_5 = 5a_5 = a_3 + a_4$. Entonces $I_{\mathcal{A}}$ es IC.

Ideales tóricos simpliciales: El Algoritmo IC-simplicial

Cuando $\mathbf{I}_{\mathcal{A}}$ es intersección completa, durante la ejecución del Algoritmo IC-simplicial se obtiene sin ningún esfuerzo adicional un **sistema de $\text{ht}(\mathbf{I}_{\mathcal{A}})$ binomios \mathcal{A} -homogéneos** que generan $\mathbf{I}_{\mathcal{A}}$.

En el ejemplo anterior:

$\{x_3^3 - x_4^2, x_1x_2 - x_3x_4\}$ es un sistema minimal de generadores de $\mathbf{I}_{\mathcal{A}}$.

$$x_3^3 - x_4^2 \quad \Leftarrow \quad \underline{3} \cdot a_3 = \underline{2} \cdot a_4$$

$$x_1x_2 - x_3x_4 \quad \Leftarrow \quad a_6 = 5a_5 = \underline{1} \cdot a_1 + \underline{1} \cdot a_2 = \underline{1} \cdot a_3 + \underline{1} \cdot a_4$$

Ideales tóricos simpliciales homogéneos

Si $I_{\mathcal{A}}$ es un ideal tórico simplicial homogéneo, entonces la variedad $V(I_{\mathcal{A}}) \subset \mathbb{P}_k^{n-1}$ se dice que es una **variedad tórica simplicial proyectiva**.

Corolario Si $I_{\mathcal{A}}$ es un ideal tórico simplicial homogéneo, entonces,

$$I_{\mathcal{A}} \text{ es IC} \iff \mathcal{A}_{\text{red}} = \emptyset.$$

Ideales tóricos simpliciales homogéneos

Si $I_{\mathcal{A}}$ es un ideal tórico simplicial homogéneo, entonces la variedad $V(I_{\mathcal{A}}) \subset \mathbb{P}_k^{n-1}$ se dice que es una **variedad tórica simplicial proyectiva**.

Corolario Si $I_{\mathcal{A}}$ es un ideal tórico simplicial homogéneo, entonces,

$$I_{\mathcal{A}} \text{ es IC} \iff \mathcal{A}_{\text{red}} = \emptyset.$$

Una variedad \mathbf{X} se dice que es **intersección completa idealista** si $\mathbf{I}(\mathbf{X})$ es intersección completa.

Teorema

Sean $k = \overline{k}$ y $\mathbf{X} \subset \mathbb{P}_k^{n-1}$ una variedad tórica simplicial proyectiva **lisa**. Entonces, \mathbf{X} es intersección completa idealista $\iff \mathbf{X}$ es la curva monomial plana definida paramétricamente por

$$x_1 = u_1^2, x_2 = u_2^2, x_3 = u_1 u_2.$$

Teorema

Sean $k = \overline{k}$ y $X \subset \mathbb{P}_k^{n-1}$ una variedad tórica simplicial proyectiva con un único punto singular. Entonces, X es intersección completa idealista si y solo si

- X es la superficie en \mathbb{P}_k^3 definida por

$$x_1 = u_1^2, x_2 = u_2^2, x_3 = u_3^2, x_4 = u_1 u_2,$$

- X es la curva monomial proyectiva en \mathbb{P}_k^{n-1} , $n \geq 3$,

$$x_1 = u_1^d, x_2 = u_2^d, x_3 = u_1^{d-1} u_2, x_i = u_1^{d-d_i} u_2^{d_i}; 4 \leq i \leq n$$

donde $1 < d_4 < \dots < d_n < d$ y $d_4 | d_5 | \dots | d_n | d$

La implementación de Algoritmo IC-simplicial requiere el diseño de procedimientos que resuelvan los siguientes problemas:

- **Determinar si un elemento pertenece a un subsemigrupo $\sum_{j=1}^n \mathbb{N}a_j$ de \mathbb{N}^m .**
- **Calcular $B_i := \min\{b \in \mathbb{Z}^+ \mid ba_i \in \sum_{\substack{j \in \{1, \dots, n\} \\ j \neq i}} \mathbb{Z}a_j\}$.**
- **Comprobar si existen i, j tales que $m_i a_i = m_j a_j$.**

Lema

$$B_i := \frac{\text{Card}(T(\mathbb{Z}^m / \sum_{\substack{j \in \{1, \dots, n\} \\ j \neq i}} \mathbb{Z}a_j))}{\text{Card}(T(\mathbb{Z}^m / \sum_{j \in \{1, \dots, n\}} \mathbb{Z}a_j))},$$

donde $T(-)$ denota el subgrupo de torsión de un grupo abeliano.

La implementación de Algoritmo IC-simplicial requiere el diseño de procedimientos que resuelvan los siguientes problemas:

- Determinar si un elemento pertenece a un subsemigrupo $\sum_{j=1}^n \mathbb{N}a_j$ de \mathbb{N}^m .
- Calcular $B_i := \min\{b \in \mathbb{Z}^+ \mid ba_i \in \sum_{\substack{j \in \{1, \dots, n\} \\ j \neq i}} \mathbb{Z}a_j\}$.
- Comprobar si existen i, j tales que $m_i a_i = m_j a_j$.

Lema

$$B_i := \frac{\text{Card}(T(\mathbb{Z}^m / \sum_{\substack{j \in \{1, \dots, n\} \\ j \neq i}} \mathbb{Z}a_j))}{\text{Card}(T(\mathbb{Z}^m / \sum_{j \in \{1, \dots, n\}} \mathbb{Z}a_j))},$$

donde $T(-)$ denota el subgrupo de torsión de un grupo abeliano.

Implementación

Supongamos que $\mathcal{A} = \{a_1, \dots, a_n\} \subset \mathbb{N}$

El cálculo de

$$\overline{m}_1 = \min\{b \in \mathbb{Z}^+ \mid ba_1 \in \sum_{j \in \{2, \dots, n\}} \mathbb{N} a_j\}$$

se puede formular con el siguiente modelo de Programación Lineal Entera:

$$\begin{aligned}\overline{m}_1 &:= \min && x_1 \\ &&& a_1x_1 = a_2x_2 + \cdots + a_nx_n \\ &&& x_1 \geq 1; x_2, \dots, x_n \geq 0 \\ &&& x_1, x_2, \dots, x_n \in \mathbb{Z}\end{aligned}$$

Por tanto, el cálculo de \overline{m}_1 es un problema **\mathcal{NP} -duro**.

Implementación

Para calcular \overline{m}_1 usamos una representación del problema por medio de la **Teoría de Grafos**, siguiendo una idea similar a la que usan Clausen & Fortenbacher para resolver ecuaciones diofánticas lineales.

La idea es representar cada solución

$$(x_1, x_2, \dots, x_n) \text{ de } x_1 a_1 = \sum_{j=2}^n x_j a_j$$

como un camino cerrado de peso x_1 en un **grafo dirigido y pesado**.

Entonces, el problema de calcular \overline{m}_1 se reduce a **calcular el peso del camino de mínimo peso** en este grafo.

Implementación

Consideremos el grafo dirigido pesado $\mathcal{G} = (V, A)$ cuyo **conjunto de nodos** es

$$V := \{0, 1, \dots, a_1 - 1\},$$

y cuyo **conjunto de arcos** es

$$A := \bigcup_{i=2}^n \{(v, (v + a_i) \bmod a_1) \mid v \in V\},$$

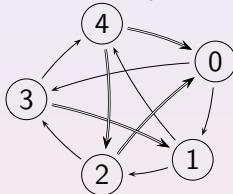
y, para todo $v \in V$ y todo $i \in \{2, \dots, n\}$, el **peso del arco**
 $(v, (v + a_i) \bmod a_1)$ es

$$w_{(v,i)} := (v + a_i) \div a_1.$$

Proposición. Hay una aplicación sobre desde el conjunto de caminos cerrados en \mathcal{G} que empiezan en 0 con peso x_1 al conjunto de soluciones (x_1, x_2, \dots, x_n) de $x_1 a_1 = \sum_{j=2}^n x_j a_j$.

Implementación

Para $\mathcal{A} = \{a_1 = 5, a_2 = 6, a_3 = 8\}$, tenemos el siguiente grafo:



donde los arcos representados con líneas simples tienen peso 1 y los arcos representados por líneas dobles tienen peso 2.

El ciclo



se corresponde con la solución $(4, 2, 1)$ de $5x_1 = 6x_2 + 8x_3$.

$$\begin{array}{l|l} 0 + a_3 - 1 \cdot a_1 = 3 & \\ 3 + a_2 - 1 \cdot a_1 = 4 & \Rightarrow 4a_1 = 2a_2 + a_3 \\ 4 + a_2 - 2 \cdot a_1 = 0 & \end{array}$$

Para calcular \overline{m}_1 se puede aplicar el **algoritmo de Dijkstra** para encontrar el ciclo mínimo que empieza (y acaba) en $0 \in V(\mathcal{G})$.

La complejidad del Algoritmo de Dijkstra es polinomial en el número de nodos y arcos del grafo. En nuestro caso, como el número de nodos de \mathcal{G} es a_1 y el número de arcos es $(n - 1)a_1$, el cálculo de \overline{m}_1 se puede resolver en **$\mathcal{O}(n \cdot d_1 + d_1 \cdot \log(d_1))$** operaciones.

Corolario. Se puede calcular \overline{m}_1 en **tiempo pseudo-polinomial**.

Implementación

Para todo $i \in \{1, \dots, n\}$, consideramos

- $k(i) \in \{1, \dots, m\}$ tal que $a_{ik(i)} \neq 0$
- $\mathcal{L} := \{j \in \{1, \dots, n\} \mid j \neq i \text{ y } \exists \lambda \in \mathbb{Q} \text{ tal que } \lambda a_i = a_j\}$

y, si $\mathcal{L} \neq \emptyset$, definimos

$$\overline{m}_i := \min\{\mathbf{b} \in \mathbb{Z}^+ \mid \mathbf{b} a_{ik(i)} \in \sum_{j \in \mathcal{L}} \mathbb{N} a_{jk(i)}\}.$$

Además, se tienen las siguientes propiedades:

Lemma

- si $m_i a_i = m_j a_j$ con $i, j \in \{1, \dots, n\}$, $j \neq i$ entonces $m_i = \overline{m}_i$,
 $m_j = \overline{m}_j$
- $m_i = \overline{m}_i$ si y solo si el sistema de ecuaciones

$$\left. \begin{array}{l} x_1 a_1 + \cdots + x_n a_n = (\overline{m}_i - 1) a_i \\ x_i + x_{n+1} = \overline{m}_i - 2 \end{array} \right\}$$

NO tiene una solución $(x_1, \dots, x_n, x_{n+1}) \in \mathbb{N}^{n+1}$

Implementación

Por tanto, para todo $i, j \in \{1, \dots, n\}$, $i \neq j$, se tiene que:

$$m_i a_i = m_j a_j \iff \begin{cases} \text{(a)} & \overline{m}_i a_i = \overline{m}_j a_j, \\ \text{(b)} & m_i = \overline{m}_i, \text{ y} \\ \text{(c)} & m_j = \overline{m}_j. \end{cases}$$

Hemos implementado el algoritmo en C++ y en SINGULAR. La implementación en SINGULAR ha dado lugar a la librería `cisimplicial.lib` que se distribuye con el software.

Nuestros experimentos muestran que el **Algoritmo IC-simplicial** puede resolver **instancias de gran tamaño**.

Por ejemplo, le cuesta menos de un segundo comprobar en un ordenador personal con Intel Pentium IV 3Ghz que el ideal tórico $I_{\mathcal{A}}$ con $\mathcal{A} = \{d_1e_1, \dots, d_8e_8, a_9, \dots, a_{27}\} \subset \mathbb{N}^8$ es una **intersección completa**, donde $0 \leq a_{ij} \leq 4000$

Bibliografía

- I. Bermejo, I. García-Marco, J. J. Salazar-González**, An algorithm for checking whether the toric ideal of an affine monomial curve is a complete intersection, *J. Symbolic Computation* **42** (2007) 971–991.
- D. Cox, J. Little, H. Schenck**, *Toric varieties*, Graduate Studies in Mathematics **124**. American Mathematical Society, Providence, RI, 2011.
- S. Eliahou, R. H. Villarreal**, On systems of binomials in the ideal of a toric variety, *Proc. Amer. Math. Soc.* **130** (2002), 345–351.
- K. Fischer, J. Shapiro**, Mixed matrices and binomial ideals, *Journal of Pure and Applied Algebra* **113** (1996), 39–54.
- P. A. García Sánchez, J. C. Rosales**, On complete intersection affine semigroups, *Comm. in Algebra* **23 (14)** (1995), 5395–5412.
- M. Morales**, Noetherian Symbolic Blow-ups, *J. Algebra* **140** (1991), 12–25.

When teaching algebraic geometry and illustrating simple singularities, varieties, and morphisms, one almost invariably tends to choose examples of a "monomial type": i.e., varieties defined by equations $x_1^{b_1} \cdots x_r^{b_r} = x_{r+1}^{b_{r+1}} \cdots x_n^{b_n}$ and morphisms f for which $f(y_i) = x_1^{b_1} \cdots x_n^{b_n}$.

Mumford et al. (1973)

Algebra is the offer made by the devil to the mathematician. The devil says: 'I will give you this powerful machine, it will answer any question you like. All you need to do is give me your soul: give up geometry and you will have this marvellous machine.'

Michael Atiyah